

## ВЛИЯНИЕ ДЕФОРМАЦИОННЫХ НАПРЯЖЕНИЙ ГРАНИЦЫ РАЗДЕЛА Si—SiO<sub>2</sub> НА ОБРАЗОВАНИЕ И ОТЖИГ РАДИАЦИОННЫХ ДЕФЕКТОВ В КРЕМНИИ

Казакевич Л. А., Кузнецов В. И., Лугаков П. Ф.,  
Филиппов И. М., Цикунов А. В.

Изучены процессы накопления и отжига радиационных дефектов в структурах, изготовленных из пластин монокристаллического кремния КЭФ-7.5, на которых термическим окислением выращивался слой SiO<sub>2</sub> и затем наносился поликремний. В качестве контрольного материала использовались объемные кристаллы КЭФ-7.5. На различных этапах облучения  $\gamma$ -квантами <sup>60</sup>Со ( $T_{об.1} \leq 50$  °C) и 15-минутного изохронного отжига методом Ван-дер-Пау измерялись температурные ( $T_{изм}=80 \div 400$  K) зависимости коэффициента Холла и электропроводности, а методом модуляции проводимости в точечном контакте — инжекционные зависимости времени жизни неосновных носителей заряда. Установлено, что в структурах скорости образования комплексов углерод—кислород—дивакансия выше, а A-центров ниже, чем в контрольных образцах кремния. Отжиг этих дефектов в структурах начинается раньше и происходит в более широком интервале температур. Объяснение полученных результатов базируется на основе представлений, учитывающих влияние деформационных напряжений и искажения кристаллической решетки вблизи границы раздела Si—SiO<sub>2</sub>, а также наличие высокой плотности дислокаций, которые возникают в процессе создания структур и окружены примесной атмосферой.

Присутствие в кремнии структурных нарушений, создающих деформацию кристаллической решетки (дислокации, микродефекты, области скопления дефектов и примесей, поверхность кристалла), приводит к изменению процессов радиационного дефектообразования [1, 2]. Деформационные напряжения возникают и на границе раздела Si—SiO<sub>2</sub> [3, 4], но их роль при накоплении и отжиге радиационных дефектов (РД) в кремнии не совсем ясна, что и определило цель данной работы.

Эксперименты выполнены на структурах, представляющих собой слои монокристаллического кремния на поликристаллических подложках, отделенных от них окислом. Структуры изготавливались из пластин полученного методом Чохральского n-кремния КЭФ-7.5, на которых термическим окислением при 1150 °C выращивался слой SiO<sub>2</sub> толщиной ~ 1.5 мкм. На окисел при той же температуре наносился поликремний, после чего снимался слой монокристаллического кремния и его толщина уменьшалась до ~25 мкм. В качестве контрольного материала использовались объемные образцы исходного кремния КЭФ-7.5. По подсчету ямок травления после обработки селективным травителем в структурах и кристаллах контролировались плотность дислокаций и их расположение. Структуры и кристаллы облучались  $\gamma$ -квантами <sup>60</sup>Со при  $T_{об.1} \leq 50$  °C. Изохронный 15-минутный отжиг проводился в интервале температур  $T_{изм}=100 \div 500$  °C. До и после облучения и на различных этапах отжига методом Ван-дер-Пау измерялись температурные ( $T_{изм}=80 \div 400$  K) зависимости концентраций ( $n$ ) и холловской подвижности ( $\mu$ ) носителей заряда, а методом модуляции проводимости в точечном контакте — инжекционные ( $T_{изм}=300$  K) зависимости времени жизни ( $\tau$ ) неосновных носителей заряда.

Из металлографических экспериментов следует, что структуры (в отличие от контрольных кристаллов) содержат высокую плотность дислокаций ( $N_d \approx 1 \cdot 10^7 \div 1 \cdot 10^8$  см<sup>-2</sup>), которые занимают примерно 20 % объема монокристалл-

лического кремния и сосредоточены преимущественно у границы раздела  $\text{Si}-\text{SiO}_2$ . Основной причиной появления дислокаций является несоответствие между собой термических коэффициентов линейного расширения монокристаллического кремния, его окисла и поликремния. При охлаждении структур от 1150 °C для компенсации возникающих напряжений образуются дислокации, которые затем сами могут являться источниками упругих напряжений<sup>[5]</sup>. Дислокации в кремнии обычно окружены атмосферой фоновых примесей<sup>[6]</sup>. При термической обработке кремния в процессе создания структур примесные атомы вблизи дислокаций участвуют в образовании различного рода ассоциаций, в том числе и кислородосодержащих термодоноров<sup>[7]</sup>, с чем и связано наблюдаемое увеличение  $n$  в изготовленных структурах (см. таблицу). С другой стороны, дислокации являются эффективными центрами рассеяния и рекомбинации носителей заряда<sup>[6, 8]</sup> и из-за их наличия происходит уменьшение  $\mu$  и  $\tau$ . Все это приводит к тому, что электрофизические характеристики структур оказываются отличающимися от значений их в контрольных кристаллах  $n$ -кремния, как это следует из приведенных в таблице данных.

Исходные характеристики исследуемых материалов

Образцы	$n, \text{ см}^{-3}$	$\mu, \text{ см}^2/\text{В} \cdot \text{с}$	$\tau, \text{ с}$
Структуры $n$ -Si	$(1.2 \pm 0.5) \cdot 10^{15}$	$(8.50 \pm 0.5) \cdot 10^2$	$(1.5 \pm 1.0) \cdot 10^{-6}$
Кристаллы $n$ -Si	$(6.0 \pm 0.5) \cdot 10^{14}$	$(1.5 \pm 0.01) \cdot 10^3$	$(2.0 \pm 0.5) \cdot 10^{-5}$

При облучении структур и контрольных кристаллов  $n$ ,  $\mu$  и  $\tau$ , как правило, уменьшаются, но степень их изменения различна в исследуемых образцах. Так, коэффициенты радиационного изменения  $K_n = (n_0 - n_\Phi)/\Phi$  и  $K_\tau = (1/\tau_0 - 1/\tau_\Phi)/\Phi$  в структурах имеют значения  $1.4 \cdot 10^{-4} \text{ см}^{-1}$  и  $7.7 \cdot 10^{-11} \text{ см}^2/\text{с}$  соответственно, а в контрольных кристаллах —  $1.8 \cdot 10^{-5} \text{ см}^{-1}$  и  $2.9 \cdot 10^{-11} \text{ см}^2/\text{с}$  ( $n_0$ ,  $\tau_0$  — концентрация и время жизни носителей заряда до,  $n_\Phi$ ,  $\tau_\Phi$  — после облучения интегральным потоком  $\Phi$ ).

Анализ температурных зависимостей концентрации носителей заряда показывает, что энергетический спектр уровней, вводимых облучением РД, в исследуемых материалах одинаков, причем наиболее эффективно образуются дефекты, вносящие в запрещенную зону акцепторные энергетические уровни  $\sim E_c - 0.17$  и  $\geq E_c - 0.40$  эВ. Дозовые зависимости концентрации этих РД приведены на рис. 1. Как видно, во всех случаях имеет место линейное изменение концентрации дефектов с ростом интегрального потока  $\gamma$ -квантов. Вместе с тем эффективность образования РД с уровнем  $\sim E_c - 0.17$  эВ выше в контрольных кристаллах, чем в структурах, а дефекты с уровнем  $\geq E_c - 0.40$  эВ эффективны вводятся в структурах. Последним и объясняются более высокие (по сравнению с контрольными кристаллами) значения  $K_n$  и  $K_\tau$  в структурах, так как в условиях эксперимента ( $T_{\text{изм}} = 300$  К) эффективными компенсирующими и рекомбинационными центрами являются дефекты с заполненными (глубокими,  $\geq E_c - 0.35$  эВ) энергетическими уровнями в запрещенной зоне.

Известно, что при облучении  $\gamma$ -квантами  $^{60}\text{Co}$  в  $n$ -кремнии, выращенном методу Чохральского, наиболее эффективно накапливаются  $A$ -центры (энергетический уровень  $E_c - 0.17$  эВ) и комплексы углерод—кислород—дивакансы ( $E_c - 0.45$  эВ)<sup>[1, 8-10]</sup>.  $A$ -центры образуются за счет захвата подвижных вакансий атомами междуузельного кислорода ( $O_I$ ), а при взаимодействии вакансий с углерод-кислородными ассоциациями  $C_sO_I$  (узловой углерод—междуузельный кислород) формируются комплексы углерод—кислород—дивакансы (COW)<sup>[8, 9]</sup>. Скорость образования  $A$ -центров и комплексов COW будет зависеть от концентрационных соотношений между основными конкурирующими стоками для вакансий (атомы  $O_I$  и ассоциации  $C_sO_I$ ). Более эффективное образование комплексов COW в структурах связано, по-видимому, с повышенной концентрацией в них ассоциаций  $C_sO_I$ . Последние, на наш взгляд, формируются в процессе окисления кремния, причем вблизи границы раздела  $\text{Si}-\text{SiO}_2$

Это подтверждают следующие контрольные эксперименты. В образцах кремния, прошедших высокотемпературную обработку без окисления, не наблюдалось изменения скоростей образования РД, тогда как окисление кристаллов при температурах 1000–1200 °С приводило к увеличению  $K_c$  и скорости введения комплексов СOW. Послойное стравливание окисленных и облученных кристаллов показало, что распределение комплексов СOW по глубине неоднородно: их концентрация у поверхности значительно выше, чем в объеме.

Сравнение процессов накопления РД в структурах и контрольных кристаллах (рис. 1) показывает, что суммарные концентрации  $A$ -центров и комплексов СOW в них различны, т. е. баланс вакансационных комплексов в исследуемых

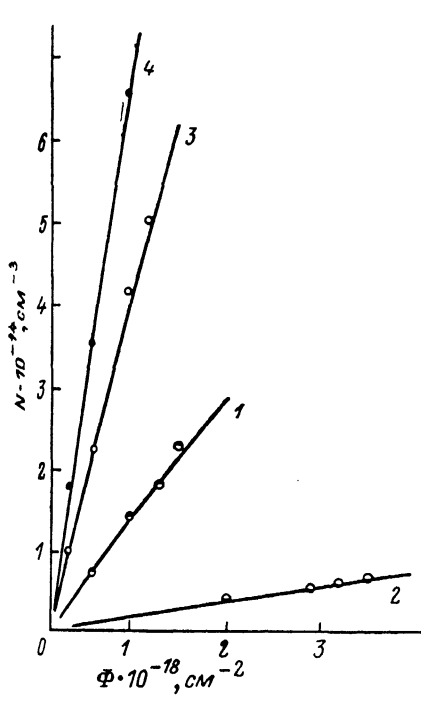


Рис. 1. Дозовые зависимости концентрации комплексов углерод—кислород—дивакансия (1, 2) и  $A$ -центров (3, 4) в структурах (1, 3) и контрольных кристаллах (2, 4).

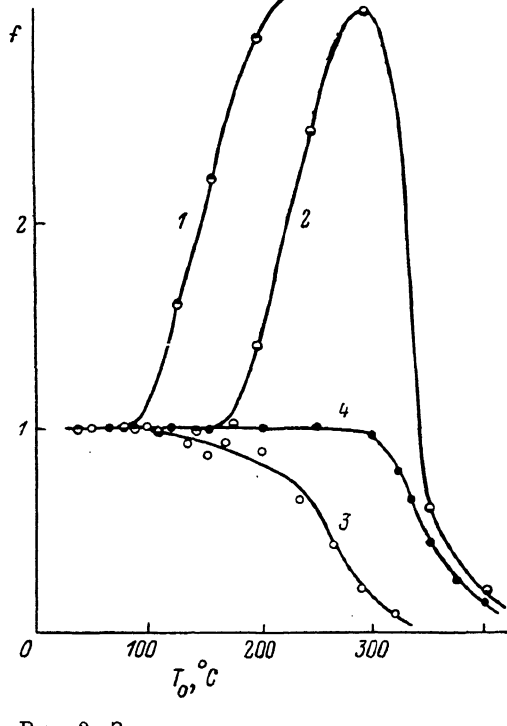


Рис. 2. Зависимости доли неотожженных дефектов для комплексов углерод—кислород—дивакансия (1, 2) и  $A$ -центров (3, 4) от температуры отжига в структурах (1, 3) и контрольных кристаллах (2, 4).

$\Phi, \text{ см}^{-2}$ : 1, 2 —  $1 \cdot 10^{16}$ ; 3, 4 —  $1 \cdot 10^{18}$ .

материалах не сохраняется. Уменьшение скорости образования  $A$ -центров в структурах (по отношению к контрольным кристаллам) оказывается более значительным, чем увеличение скорости образования комплексов СOW. Объяснение этого факта может быть дано с учетом влияния дислокаций вблизи границы раздела Si—SiO<sub>2</sub> на накопление РД [11]. Под воздействием создаваемых деформационных напряжений к границе раздела мигрируют генерируемые облучением вакансию. При этом часть из них исчезает на дислокациях, а оставшиеся участвуют вблизи границы раздела Si—SiO<sub>2</sub> в комплексообразовании с ассоциациями C<sub>8</sub>O<sub>1</sub> и атомами O<sub>1</sub>.

Подтверждением влияния возникающих у границы раздела деформационных напряжений на протекание радиационных процессов в структурах могут служить результаты изохронного отжига облученных образцов, приведенные на рис. 2. Здесь показаны зависимости доли неотожженных дефектов для комплексов СOW [ $f = (1/\tau_T - 1/\tau_0)/(1/\tau_\Phi - 1/\tau_0)$ ] ( $\tau_0$ ,  $\tau_\Phi$ ,  $\tau_T$  — времена жизни носителей заряда до, после облучения и на различных этапах отжига соответственно) и  $A$ -центров ( $f = N_T/N_\Phi$ ,  $N_\Phi$ ,  $N_T$  — концентрации  $A$ -центров после облучения и при отжиге) от температуры отжига. Видно, что в контрольных кристаллах

наблюдается характерная стадия отрицательного отжига комплексов COW ( $T_{\text{отж}} = 200 \div 300^\circ\text{C}$ ) [9, 10], а полный их отжиг, как и A-центров, заканчивается при  $T_{\text{отж}} > 400^\circ\text{C}$  (рис. 2, кривые 2, 4). Отметим некоторые особенности отжига РД в структурах. Во-первых, дообразование комплексов COW происходит при более низких (примерно на  $100^\circ\text{C}$ ) температурах (кривая 1). Во-вторых, A-центры отжигаются (кривая 3) в широком температурном интервале ( $T_{\text{отж}} = -100 \div -350^\circ\text{C}$ ), как это обычно имеет место в дислокационном кремнии или вблизи поверхности кристалла [11, 12], т. е. при наличии деформационных полей. Все это позволяет предположить, что уменьшение температуры отжига РД в структурах по сравнению с контрольными кристаллами связано с деформацией и искажением кристаллической решетки кремния у границы раздела Si—SiO<sub>2</sub>, поэтому находящиеся здесь A-центры становятся подвижными при существенно меньших температурах. Взаимодействие их с атомами узлового углерода может привести к дообразованию комплексов COW и наблюдаемому на опыте уменьшению температуры отрицательного отжига РД с уровнем  $\geq E_c - 0.40$  эВ.

Таким образом, результаты выполненных исследований показывают, что по сравнению с объемными кристаллами в кремниевых структурах с диэлектрической изоляцией процессы образования и отжига РД имеют ряд особенностей, которые можно объяснить влиянием деформационных напряжений и искажений кристаллической решетки вблизи границы раздела Si—SiO<sub>2</sub>, а также наличием высокой плотности дислокаций, окруженных атмосферой фоновых примесей и их ассоциаций.

#### Список литературы

- [1] Физические процессы в облученных полупроводниках / Под ред. Л. С. Смирнова. Новосибирск, 1977. 256 с.
- [2] Колковский И. И., Лугаков П. Ф., Шуша В. В. // ФТП. 1989. Т. 23. В. 5. С. 885—887.
- [3] Першаков В. С., Попов В. Д., Шальнов А. В. Поверхностные радиационные эффекты в элементах интегральных микросхем. М., 1988. 256 с.
- [4] Герасименко И. Н., Мордкович Б. Н. // Поверхность. Физика, химия, механика. 1987 № 6. С. 5—19.
- [5] Матаре Г. Электроника дефектов в полупроводниках. М., 1974. 464 с.
- [6] Бардели У. // УФН. 1961. Т. 73. В. 1. С. 121—167.
- [7] Еременко В. Г., Никитенко В. И., Якимов Е. Б., Ярыкин Н. А. // ФТП. 1978. Т. 1. В. 2. С. 273—279.
- [8] Watkins G. D., Corbett J. W. // Phys. Rev. 1961. V. 121. N 4. P. 1001—1014.
- [9] Lee Y. H., Corbett J. W., Brower K. L. // Phys. St. Sol. (a). 1977. V. 41. N 2. P. 637—647.
- [10] Лугаков П. Ф., Лукашевич Т. А., Шуша В. В. // ФТП. 1979. Т. 13. В. 2. С. 401—404.
- [11] Kazakevich L. A., Lugakov P. F. // Phys. St. Sol. (a). 1982. V. 71. N 1. P. 99—108.
- [12] Кузнецов В. И., Лугаков П. Ф., Цикунов А. В. // ФТП. 1984. Т. 18. В. 6. С. 1007—1010.

Научно-исследовательский институт  
прикладных физических проблем  
им. А. Н. Севченко БГУ им. В. И. Ленина  
Минск

Получена 13.10.1989  
Принята к печати 4.11.1989